



**UNIVERSIDADE FEDERAL DA FRONTEIRA SUL  
CAMPUS CHAPECÓ  
CURSO DE CIÊNCIA DA COMPUTAÇÃO**

**GUILHERME BIZZANI**

**IDENTIFICAÇÃO DE ESTADOS SEGUROS PARA REDUZIR A  
CRIAÇÃO DE CHECKPOINTS SEM VALOR**

**CHAPECÓ  
2016**

**GUILHERME BIZZANI**

**IDENTIFICAÇÃO DE ESTADOS SEGUROS PARA REDUZIR A  
CRIAÇÃO DE CHECKPOINTS SEM VALOR**

Trabalho de conclusão de curso de graduação  
apresentado como requisito para obtenção do  
grau de Bacharel em Ciência da Computação da  
Universidade Federal da Fronteira Sul.

Orientador: Prof. Dr. Braulio Adriano de Mello

**CHAPECÓ**  
2016

**GUILHERME BIZZANI**

**IDENTIFICAÇÃO DE ESTADOS SEGUROS PARA REDUZIR A  
CRIAÇÃO DE CHECKPOINTS SEM VALOR**

Trabalho de conclusão de curso de graduação apresentado como requisito para obtenção do grau de Bacharel em Ciência da Computação da Universidade Federal da Fronteira Sul.

Orientador: Prof. Dr. Bráulio Adriano de Mello

Este trabalho de conclusão de curso foi defendido e aprovado pela banca em: \_\_\_\_/\_\_\_\_/\_\_\_\_

BANCA EXAMINADORA:

---

Dr. Bráulio Adriano de Mello - UFFS

---

Dr. Claunir Pavan - UFFS

---

Dr. Emilio Wuerges - UFFS

## RESUMO

Modelos de simulação híbridos no tempo combinam partes síncronas e assíncronas no avanço do tempo. Cenários de simulação que possuem partes assíncronas estão sujeitas a violação de tempo e por isso dependem de estados anteriores salvos (checkpoints) para executar operações consistentes de rollback. Para evitar a ocorrência de checkpoints inúteis, é necessário que os checkpoints sejam criados em instantes de tempo seguros. O presente projeto apresenta um estudo feito sobre estratégias para a identificação de estados seguros e criação de checkpoints, além dos conceitos sobre simulação híbrida, rollback e o Distributed Co-simulation Backbone. O objetivo deste projeto é apresentar uma proposta para a identificação de estados seguros em elementos assíncronos no DCB a fim de diminuir a criação de checkpoints inúteis. Checkpoints inúteis são indesejáveis, pois não contribuem com a operação de rollback e desperdiçam processamento e armazenamento ao serem criados.

Palavras-chave: Sistemas Distribuidos. Simulação. Estados Seguros. Checkpoints.

## LISTA DE FIGURAS

Figura 2.1 – Exemplo de estado consistente e inconsistente [Elnozahy et al., 2002]. . . . .	10
Figura 2.2 – Exemplo de estado inconsistente. . . . .	12
Figura 2.3 – Coordenação não bloqueante de Checkpoints: (a) checkpoint inconsistente; (b) utilizando canais FIFO; (c) utilizando canais não FIFO [Elnozahy et al., 2002]. . . . .	14
Figura 2.4 – Índice de checkpoint e Intervalo de checkpoints [Elnozahy et al., 2002]. . . . .	17
Figura 2.5 – Rollback e Efeito Dominó [Elnozahy et al., 2002]. . . . .	18
Figura 2.6 – Z-Path e Z-Cycle. . . . .	19
Figura 2.7 – Visão de uma Federação HLA [Mello, 2005]. . . . .	20
Figura 2.8 – Arquitetura do DCB [Mello, 2005]. . . . .	21
Figura 3.1 – Exemplo de execução [Chandy and Lamport, 1985]. . . . .	23
Figura 4.1 – Situação de criação de checkpoint utilizando o índice de checkpoint. . . . .	30
Figura 5.1 – Representação do ChatDCB 5. . . . .	33
Figura 5.2 – Situação de rollback com a geração de uma anti mensagem; (a) Utilizando o método de criação de checkpoint desenvolvido neste trabalho; (b) Utilizando o método de criação de checkpoint anterior do DCB. . . . .	35
Figura 5.3 – Situação onde um elemento está muito adiantado na simulação e necessita de um rollback, tendo um intervalo de retorno bastante grande. (a) Utilizando o método de criação de checkpoint desenvolvido neste trabalho; (b) Utilizando o método de criação de checkpoint anterior do DCB. . . . .	35
Figura 5.4 – Finalização da simulação de teste utilizando a criação de checkpoints desenvolvida neste trabalho. (a) ChatDCB 6; (b) ChatDCB 7; (c) ChatDCB 8. . . . .	36
Figura 5.5 – Finalização da simulação de teste utilizando a criação de checkpoints presente anteriormente no DCB. (a) ChatDCB 6; (b) ChatDCB 7; (c) ChatDCB 8. . . . .	37

## SUMÁRIO

<b>1 INTRODUÇÃO</b>	7
<b>2 REFERENCIAL TEÓRICO</b>	9
2.1 Simulação	9
2.2 Simulação Distribuída	9
2.3 Estados Consistentes Globais	10
2.4 Simulação Síncrona	11
2.4.1 Lookahead	11
2.4.2 Mensagem Nula	11
2.5 Simulação Assíncrona	12
2.6 Rollback Baseado em Log	12
2.7 Rollback Baseado em Checkpoint	13
2.8 Checkpoints Coordenados	13
2.8.1 Coordenação de Checkpoints não Bloqueantes	14
2.8.2 Confiabilidade de Comunicação em Checkpoints	15
2.8.3 Checkpoints Coordenados Mínimos	15
2.9 Checkpoints Não-Coordenados	16
2.9.1 Anti-Mensagens	17
2.9.2 Efeito Dominó	17
2.10 Checkpoints Induzidos a Comunicação	18
2.11 High Level Architecture	19
2.11.1 Aspectos Técnicos do HLA	20
2.12 Distributed Co-Simulation Backbone	20
2.12.1 Sincronização no DCB	21
2.12.2 Checkpoints no DCB	22
<b>3 TRABALHOS RELACIONADOS</b>	23
<b>4 DESENVOLVIMENTO</b>	28
4.1 Índice de Checkpoint	28
4.2 Predição de Mensagens	29
<b>5 ESTUDO DE CASO</b>	32
5.1 Resultados	32
<b>6 CONCLUSÃO</b>	38
6.1 Trabalhos Futuros	38
<b>REFERÊNCIAS</b>	39

# 1 INTRODUÇÃO

Simulações computacionais tem o propósito de permitir a representação do comportamento de um sistema com o uso de modelos de representação. Um modelo incorpora características do sistema que representa, possuindo então a capacidade de “imitar” seu comportamento.

Tendo cada vez mais integração entre áreas de conhecimento distintas, existe um maior incentivo para o uso de modelos heterogêneos de simulação. Modelos heterogêneos permitem que os elementos de simulação diferenciem, por exemplo, quanto sua linguagem de programação, sua interface e na maneira em que trocam mensagens, podendo ser integrados em um mesmo modelo [Reynolds Jr, 1988].

Com o objetivo de reduzir o tempo da simulação, o modelo da simulação pode ser dividido em elementos distintos que podem ser executados em recursos distribuídos [Fujimoto, 1998]. Durante uma simulação distribuída, podem ocorrer falhas de violação de tempo na troca de mensagens entre os processos. Para evitar que seja necessário reiniciar totalmente a simulação, são utilizados métodos que permitem utilizar estratégias de Rollback para retornar a estados anteriormente salvos. Os métodos mais utilizados são baseados na criação de Logs e na criação de Checkpoints. Estes métodos consistem em criar pontos de restauração durante a simulação, os quais podem ser restaurados caso necessário, evitando assim a necessidade de reiniciar totalmente a simulação.

Existem três abordagens principais para a criação de checkpoints [Elnozahy et al., 2002]. Os checkpoints Coordenados, que orquestram a criação de checkpoints entre todos os elementos, podendo causar overhead de processamento. Os Checkpoints Não-coordenados, que garantem a autonomia para que cada elemento crie seus checkpoints quando achar conveniente. No entanto, checkpoints não coordenados possuem algumas desvantagens, uma delas é o efeito dominó, que pode levar ao reinício da computação. Outra desvantagem é a criação de checkpoints inúteis. E, por fim, Checkpoints induzidos a comunicação, que procuram utilizar as mensagens da aplicação para criar seus checkpoints.

O Distributed Co-simulation Backbone, utilizado neste trabalho, se trata de uma arquitetura de co-simulação heterogênea [Mello, 2005] que gera checkpoints em estados não seguros e é suscetível ao efeito dominó. O DCB foi inspirado na High Level Architecture (HLA). A HLA é um padrão IEEE para arquitetura de sistemas de simulação distribuídos [Dahmann et al., 1997]. O DCB é distribuído, uma vez que permite que os modelos estejam distribuídos logicamente e

fisicamente, é heterogêneo, permitindo que seus elementos sejam desenvolvidos em linguagem de programação diferentes, possuam interfaces distintas ou até mesmo interajam com elementos reais de simulação. Seus elementos assíncronos seguem a política de checkpoints quanto a recuperação pós falha.

Antes deste trabalho o DCB criava seus checkpoints de forma não coordenada, levando em consideração apenas o tempo de simulação e a quantia de troca de mensagens entre os elementos. Isso poderia levar ao efeito dominó e a criação de checkpoints inúteis, uma vez que não é garantida a criação de checkpoints consistentes.

Neste trabalho apresentaremos modificações feitas no DCB, para que o mesmo passe a criar checkpoints com base em duas abordagens baseadas em Checkpoints Induzidos a Comunicação: criar checkpoints utilizando o histórico de mensagens recebidas de cada elemento e criar checkpoints com base em dados anexados em cada troca de mensagem de simulação.

A abordagem que utiliza o histórico de mensagens recebidas de cada elemento foi desenvolvida com base em padrões observados em modelos computacionais, e consiste em criar previsões de possível recebimento de mensagem de outro elemento com base na média de intervalo entre as mensagens recebidas previamente. Já a abordagem que utiliza dados anexados em troca de mensagens foi baseada no trabalho de [Lin and Dow, 2001], que consiste em anexar um índice de checkpoint a cada mensagem enviada, permitindo ao destinatário decidir se a partir deste índice anexado criará ou não um checkpoint antes de processar a mensagem recebida. Com estas abordagens, garantindo que o DCB crie checkpoints em estados seguros, reduzindo a criação de checkpoints inúteis e garantindo a não ocorrência do efeito dominó.



## **2 REFERENCIAL TEÓRICO**

### **2.1 Simulação**

Simulação consiste na representação de sistemas com o uso de modelos com o propósito de imitar um processo ou operação do mundo real. Desta forma, para ser realizada uma simulação é necessário construir um modelo que corresponda à situação real que se deseja simular. A simulação computacional utiliza técnicas que permitem imitar o funcionamento de praticamente qualquer tipo de operação ou processo do mundo real através da criação de modelos computacionais que os representem [Law and Kelton, 1991].

Dependendo da natureza do sistema e das características que devem ser representadas, pode ser feito o uso de modelos Contínuos ou Discretos. Numa simulação contínua, as mudanças de estado ocorrem continuamente no tempo, enquanto em uma simulação discreta a ocorrência de um evento é instantânea e fixa a um ponto selecionado no tempo [Ferscha and Tripathi, 1998]. No presente trabalho sempre que for falado em simulação, estará se referindo à simulação discreta de eventos.

### **2.2 Simulação Distribuída**

Diferente da simulação centralizada, onde um modelo é inteiramente executado em um único recurso de processamento, a simulação distribuída permite a execução de módulos da simulação em ambientes computacionais distribuídos. A execução de um único modelo de simulação, provavelmente composta de diversos Processos Lógicos (PL), é distribuída entre múltiplos computadores [Fujimoto, 1998].

A principal justificativa que leva as simulações a serem distribuídas em ambientes distintos é que ela pode reduzir o tempo de simulação drasticamente, uma vez que cada Processo Lógico possa cumprir sua função paralelamente aos outros.

A sincronização na simulação distribuída tem como objetivo geral garantir que os eventos disparados pelos Processos Lógicos ocorram em seus devidos tempos de evento nos PLs destinos de modo ordenado. Cada evento ocorre em um instante de tempo de simulação, o tempo de evento. A ordem de execução de eventos internos de um PL utiliza como referência um tempo local de simulação, ou Local Virtual Time LVT. Já a ordem de execução de eventos externos precisa ser controlada por um tempo global reconhecido em todos os PL's do modelo,

chamado de Global Virtual Time GVT [Fujimoto and Nicol, 1992].

### 2.3 Estados Consistentes Globais

Um estado global de um sistema de transmissão de mensagens é um conjunto dos estados individuais de todos os processos que participam da mesma simulação. Já um estado global consistente é definido quando este conjunto possa ser recuperado, garantindo tanto a consistência individual de cada elemento, quanto a não criação de mensagens órfãs. [Elnozahy et al., 1996].

Por exemplo, a Figura 2.1 apresenta dois estados que representam o instante de tempo recuperado após a utilização da operação de *Rollback*, um estado consistente na Figura 2.1(a) e um estado inconsistente na Figura 2.1(b). Note que o estado consistente na Figura 2.1(a) apresenta a mensagem  $m_1$  como sendo enviada pelo processo  $P_0$  mas ainda não recebida no processo  $P_1$ . Este estado é considerado consistente pois representa uma situação onde a mensagem foi enviada pelo remetente e o tempo de execução da mensagem é maior que o tempo local atual do PL destino ou a mensagem ainda se encontra em transporte na rede. Por outro lado, na Figura 2.1(b) o estado é inconsistente pois o processo  $P_2$  apresenta ter recebido a mensagem  $m_2$  mas o estado de  $P_1$  não apresenta o envio da mesma, caracterizando-a como uma mensagem órfã.

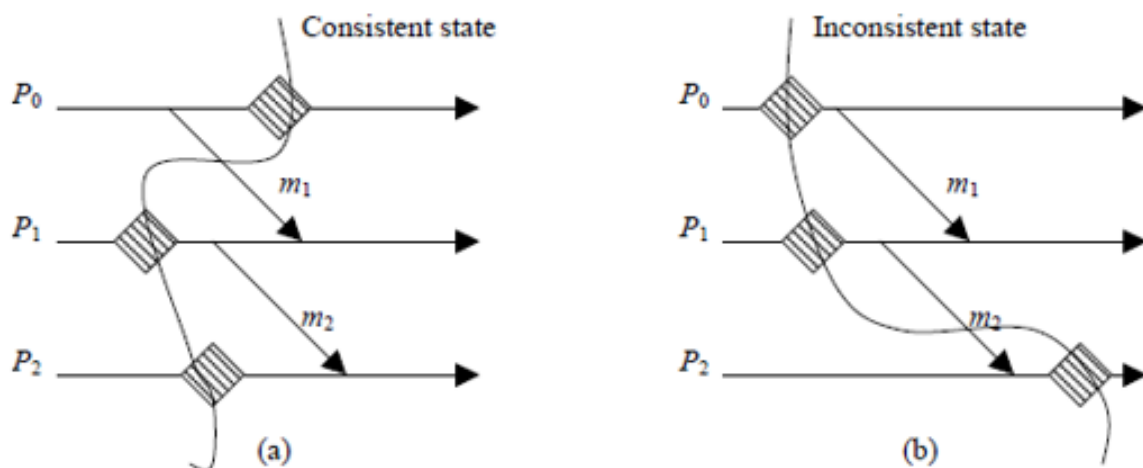


Figura 2.1: Exemplo de estado consistente e inconsistente [Elnozahy et al., 2002].

## 2.4 Simulação Síncrona

Na simulação síncrona, também chamada de simulação conservadora, elementos não podem retroceder no tempo no caso de alguma violação de tempo, fazendo com que o protocolo que implementa as regras de controle para a troca de mensagens garanta uma ordem segura de ocorrência de eventos durante uma simulação.

Por exemplo, um PL(A) de simulação com LVT igual a 10 deseja executar um evento interno com tempo do evento igual a 12. Contudo um PL(B) está preparando uma solicitação ao PL(A) para que ele execute um evento no tempo 11. Um algoritmo de sincronização conservadora deve garantir que o PL(A) execute o evento do tempo 12 somente depois que existam garantias que nenhum outro PL irá solicitar ao PL(A) que execute um evento num tempo menor que 12.

Para garantir a ordem de ocorrência dos eventos, na simulação síncrona, o controle geralmente é mantido pelo relógio global (GVT) [Ferscha and Tripathi, 1998]. O GVT síncrono é dado pelo maior dentre todos LVT dos PL's. Como na simulação síncrona os PL's solicitam a execução de eventos apenas para instante de tempo maiores que o GVT, garante-se a ordem dos elementos.

### 2.4.1 Lookahead

Uma alternativa que visa oferecer mais desempenho à simulação síncrona é a função de Lookahead. Ela permite que cada PL possa prever quando gerará eventos no futuro, dando assim uma margem para outros processos avançarem sua computação até o limite desse intervalo de tempo. O DCB possui um mecanismo de Lookahead estático implementado, onde se estabelece um limite para este avanço.

### 2.4.2 Mensagem Nula

Mensagens nulas são utilizadas para evitar situações de impasse (deadlock) nos modelos síncronos. Ao enviar uma mensagem nula, um processo comunica a outro uma “previsão” sobre seu comportamento futuro, como por exemplo que não enviará nenhuma mensagem ou executará algum evento com tempo menor que o valor fornecido na mensagem nula.

## 2.5 Simulação Assíncrona

Também chamada de abordagem otimista, a simulação assíncrona permite que eventos possam ser executados fora de uma ordem temporal permitindo a ocorrência de violações de tempo. Entretanto, a consistência da sincronização entre os PL's é garantida através de políticas de recuperação de estados consistentes (Rollback) em situação de erro.

Tomando como exemplo a Figura 2.2 o estado de PL1 torna-se inconsistente com o envio de uma mensagem de PL0 para PL1 com o tempo de evento igual a 10. Neste caso, o PL1 deve retroceder no tempo até o LVT 10, tempo em que ocorreu a violação de tempo local, e executar novamente os eventos até o LVT 15. As mensagens enviadas a partir de PL1 entre os tempos 10 e 15, se houverem, são denominadas mensagens órfãs. Por este motivo, a recuperação de um estado seguro pode gerar um efeito conhecido como efeito dominó [Elnozahy et al., 2002].

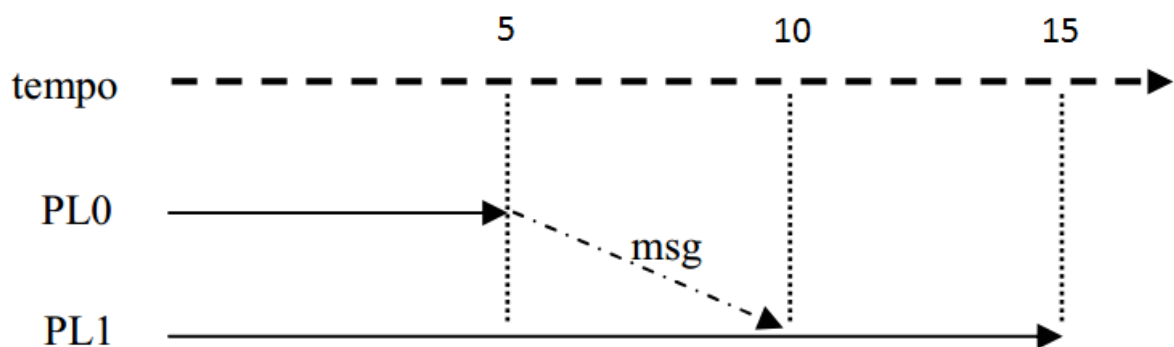


Figura 2.2: Exemplo de estado inconsistente.

Na literatura foram encontrados dois principais métodos para realizar Rollback durante uma simulação: o método de criar logs e o método de estabelecer checkpoints.

## 2.6 Rollback Baseado em Log

O rollback baseado em log torna explícito o fato que a execução de um processo pode ser modelada como a sequência de eventos determinísticos, tendo seu início com a execução de um evento não-determinístico. Este evento pode ser o recebimento de uma mensagem de outro processo ou um evento interno, entretanto o envio de uma mensagem é considerado um evento determinístico [Elnozahy et al., 2002].

Durante uma simulação tolerante a falhas, cada processo cria logs contendo as deter-

minantes de todos os eventos não determinísticos (recebimento de mensagens) que ocorreram e os mantém em armazenamento estável. Caso ocorra uma falha, os processos que falharam se recuperam utilizando as determinantes dos logs para reproduzir precisamente os eventos de recebimento de mensagem da mesma maneira que estavam antes da falha.

Rollback baseados em logs podem ser divididos em três protocolos:

- Rollback pessimista baseado em log: garante que não sejam criadas mensagens órfãs ao ocorrer uma falha. Este protocolo simplifica a recuperação, coleta de lixo e entregas externas ao custo de maior processamento durante sua operação.
- Rollback otimista baseado em log: reduz o overhead de desempenho durante uma simulação tolerante a falhas, porém permite que mensagens órfãs sejam criadas caso haja uma falha. A possibilidade de serem criadas mensagens órfãs prejudica a recuperação, coleta de lixo e entregas externas.
- Rollback casual baseado em log: este protocolo procura combinar as vantagens de um baixo overhead de performance e rápidas entregas externas, porém exige um sistema de recuperação e coletor de lixo mais complexos.

## **2.7 Rollback Baseado em Checkpoint**

Quando ocorre uma falha, a política de Rollback baseado em checkpoint restaura o estado do sistema de acordo com o conjunto de checkpoints. Protocolos baseados em checkpoints são menos restritivos e mais fáceis de implementar que os protocolos de Log [Elnozahy et al., 2002].

As técnicas de Rollback baseadas em checkpoint podem ser classificadas em três categorias: Checkpoints coordenados, Checkpoints não-coordenados e Checkpoints induzidos a comunicação.

## **2.8 Checkpoints Coordenados**

Checkpoints coordenados exigem que os processos orquestrem seus checkpoints a fim de formar um estado consistente global. Checkpoints coordenados simplificam a recuperação e não são suscetíveis ao efeito dominó, uma vez que todos os processos utilizarão sempre seu

último checkpoint. Com isso, cada processo precisa de apenas um checkpoint salvo em armazenamento estável [Elnozahy et al., 2002].

Uma abordagem muito usada nos checkpoints coordenados é o bloqueio de mensagens de simulação entre os processos enquanto o protocolo de criação de checkpoints é executado. Esta abordagem causará um overhead de processamento muito alto, pois as mensagens para a coordenação entre os checkpoints podem demorar a serem transmitidas [Tamir and Sequin, 1984].

### 2.8.1 Coordenação de Checkpoints não Bloqueantes

Um problema fundamental dos checkpoints coordenados é prevenir que processos recebam mensagens de simulação durante a criação de checkpoints, o que tornaria o checkpoint inconsistente. No exemplo da Figura 2.3(a), em que o processo  $P_0$  envia uma mensagem  $m$  após receber uma requisição de checkpoint do iniciador de checkpoint. Agora, vejamos que  $m$  chega em  $P_1$  antes que a requisição de checkpoint. Esta situação resulta em um checkpoint inconsistente, uma vez que o checkpoint  $C_{1,x}$  apresenta a recepção da mensagem  $m$  de  $P_0$ , enquanto o checkpoint  $C_{0,x}$  não apresenta a mesma sendo enviada de  $P_0$ .

Se os canais de comunicação forem FIFO (First In First Out) este problema pode ser evitado fazendo com que quando os processos recebem a mensagem de requisição de checkpoint, enviem mensagens de requisição de checkpoint a todos os outros processos, como ilustra a Figura 2.3(b). Caso os canais não sejam FIFO, um marcador pode ser acoplado a todas as mensagens posteriores a um checkpoint, então, caso um processo receba uma mensagem e o marcador indica que deve ser criado um checkpoint antes da mensagem ser tratada, este checkpoint é criado, e quando a mensagem de requisição de checkpoint for recebida, ela será ignorada, como ilustra a Figura 2.3(c).

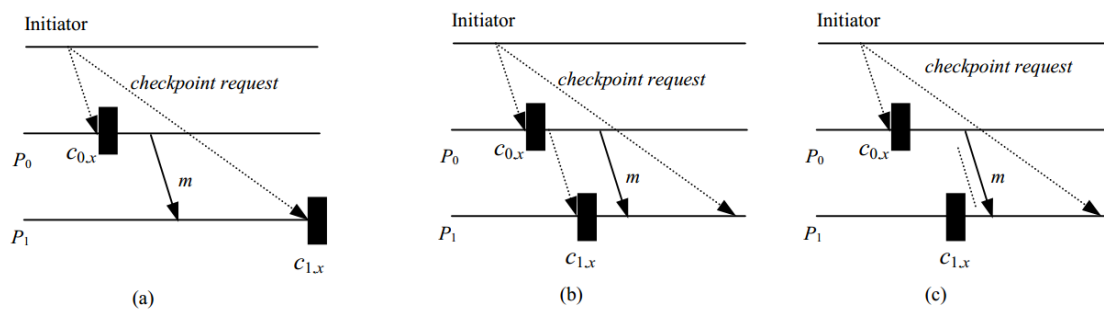


Figura 2.3: Coordenação não bloqueante de Checkpoints: (a) checkpoint inconsistente; (b) utilizando canais FIFO; (c) utilizando canais não FIFO [Elnozahy et al., 2002].

### 2.8.2 Confiabilidade de Comunicação em Checkpoints

Dependendo da abordagem que o canal de comunicação utiliza, os protocolos podem exigir que as mensagens sejam salvas como parte dos checkpoints. Considere o caso onde o canal de comunicação é confiável. Um processo  $p$  envia uma mensagem  $m$  depois de criar um checkpoint, e esta mensagem  $m$  alcança seu destino no processo  $q$  antes que  $q$  tenha seu checkpoint criado. Neste caso, o estado gravado do processo  $p$  deve mostrar que a mensagem  $m$  foi enviada, enquanto o estado salvo de  $q$  deve mostrar que a mensagem não foi recebida. Caso ocorra uma falha e ambos os processos forem obrigados a retroceder a estes checkpoints, seria impossível garantir a confiabilidade da entrega da mensagem  $m$ .

Para evitar este problema, o protocolo exige que todas as mensagens em trânsito sejam salvas por seu destinatário pretendido como parte de seus checkpoints. Entretanto, caso o canal de comunicação não seja confiável, não há a necessidade de gravar as mensagens em trânsito, pois o estado salvo dos checkpoints ainda seria consistente.

### 2.8.3 Checkpoints Coordenados Mínimos

Checkpoints coordenados requerem que todos os processos participem em todos os checkpoints. Porém é desejado reduzir o número de processos envolvidos em uma criação de checkpoints coordenados. Isso pode ser feito desde que os processos que precisam de checkpoints novos sejam somente os que se comunicaram com o iniciador de checkpoint, diretamente ou indiretamente desde o último checkpoint [Koo and Toueg, 1987].

Checkpoint coordenado mínimo é um protocolo que segue duas fases. Durante a primeira fase, o iniciador de checkpoint identifica todos os processos os quais se comunicou desde o último checkpoint e os envia uma requisição. Ao receber uma requisição, o processo identifica todos os processos com que tenha se comunicado desde o último checkpoint e os envia uma requisição, e assim por diante, até que nenhum processo possa ser identificado. Na segunda fase, todos os processos identificados na primeira fase criam um checkpoint. O resultado é um estado consistente que envolve somente os processos participantes. Neste protocolo, após o recebimento de uma requisição, o processo não pode enviar mensagens a outros processos até que a segunda fase se complete, entretanto, é permitido receber mensagens de outros processos.

## 2.9 Checkpoints Não-Coordenados

Checkpoints não coordenados permitem a cada processo a máxima autonomia ao decidir quando criar um checkpoint. A maior vantagem deste modelo é que elimina a necessidade do envio de mensagens exclusivas para a criação de checkpoints. Porém checkpoints não coordenados possuem três principais desvantagens:

1. Está sujeito ao efeito dominó, que pode causar grande perda de trabalho útil, podendo retornar até o início da simulação.
2. Um processo pode criar checkpoints inúteis, ou seja, que nunca farão parte de estados consistentes. Checkpoints inúteis são indesejáveis pois eles causam overhead de processamento e não contribuem com o processo de Rollback.
3. Checkpoints não coordenados forçam cada processo a manter vários checkpoints, e chamar periodicamente um coletor de lixo para apagar os checkpoints que não são mais úteis.

A fim de estabelecer estados consistentes globais, durante a simulação, os processos gravam suas dependências em seus checkpoints enquanto operam uma simulação tolerante a falhas. Utilizando a técnica de [Bhargava and Lian, 1988], temos:

Sendo  $C_{i,x}$  o  $x$ -ésimo checkpoint do processo  $i$  e sendo  $I_{i,x}$  o intervalo do checkpoint entre os checkpoints  $C_{i,x-1}$  e  $C_{i,x}$ , como ilustra a Figura 2.4, se o processo  $P_i$  durante o intervalo  $I_{i,x}$  envia uma mensagem  $m$  ao processo  $P_j$ , ele armazenará o par  $(i, x)$  em  $m$ . Quando  $P_j$  receber a mensagem  $m$  durante seu intervalo  $I_{j,y}$ , ele salvará a dependência entre  $I_{i,x}$  e  $I_{j,y}$ , que posteriormente será armazenada quando o processo  $P_j$  criar um checkpoint.

Caso ocorra uma falha, o processo de recuperação inicia o Rollback transmitindo uma mensagem de requisição de dependências para coletar todas as dependências mantidas por cada processo. Ao receber esta mensagem, os processos paralisam sua execução e respondem com suas informações de dependências. O requisitor então calcula a linha de recuperação baseado nas informações de dependências globais e transmite mensagens de requisição de Rollback contendo a linha de recuperação. Ao receber esta mensagem, os processos cujo estado já pertence a linha de recuperação continua sua execução normalmente, caso contrário ele retrocederá para um checkpoint anterior indicado pela linha de recuperação.



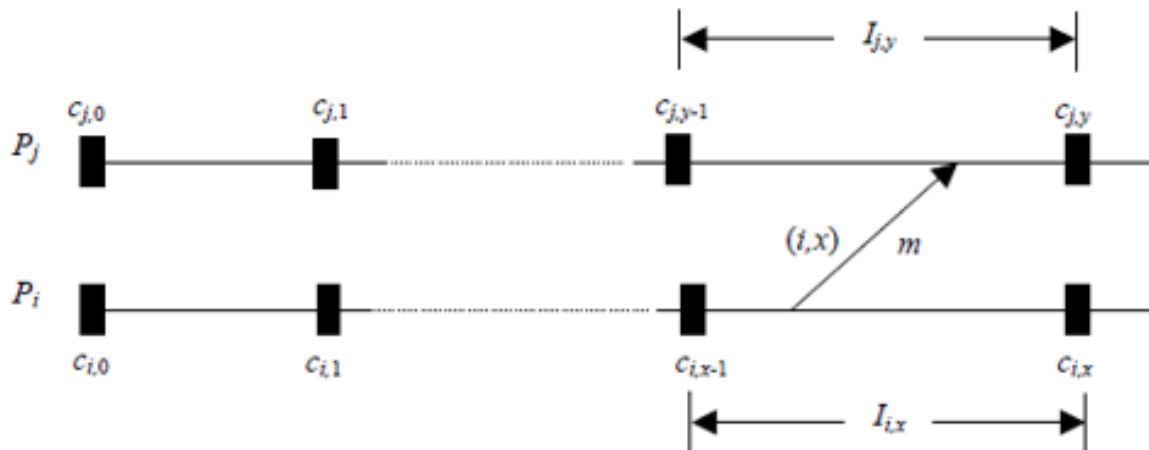


Figura 2.4: Índice de checkpoint e Intervalo de checkpoints [Elnozahy et al., 2002].

### 2.9.1 Anti-Mensagens

Anti-mensagens são mensagens enviadas quando ocorre uma violação de tempo [Elnozahy et al., 2002, Ferscha and Tripathi, 1998]. Estas mensagens são enviadas para os elementos que receberam mensagens num instante de tempo passado enviadas de algum processo que realizou a operação de Rollback, fazendo assim com que estas mensagens se transformassem em mensagens órfãs e por fim, requisitando que estes elementos também retrocedam no tempo.

### 2.9.2 Efeito Dominó

O efeito dominó ocorre quando um elemento recebe uma mensagem num instante de tempo passado e o elemento que enviou a mensagem realiza a operação de rollback e volta para um tempo anterior ao envio da mensagem, tornando assim, a mensagem órfã. Com isso, o primeiro elemento deve retroceder para um tempo anterior ao recebimento desta mensagem, assim a descartando.

Por exemplo na Figura 2.5, temos uma execução sem a coordenação entre os checkpoints. Cada processo inicia a execução com um checkpoint inicial, no tempo 0. Suponha que o processo  $P_2$  falhe e retroceda ao checkpoint C. A operação de rollback “invalida” o envio da mensagem  $m_6$ , assim  $P_1$  deve retroceder ao checkpoint B pois sua mensagem recebida  $m_6$  se tornou uma mensagem órfã. Retornando ao checkpoint B, a mensagem  $m_7$  também é “invalidada”, causando o mesmo efeito sobre o processo  $P_0$ , que por sua vez retornará ao checkpoint A. Este rollback em cascata pode levar ao efeito dominó, reiniciando totalmente a computação.

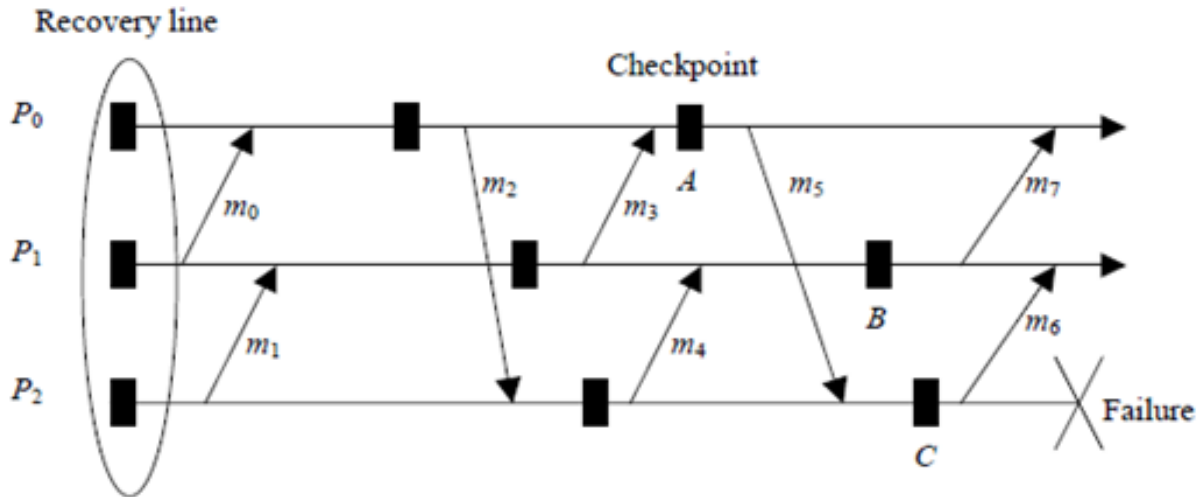


Figura 2.5: Rollback e Efeito Dominó [Elnozahy et al., 2002].

## 2.10 Checkpoints Induzidos a Comunicação

Protocolos de checkpoints induzidos a comunicação (CIC) evitam o efeito dominó sem a necessidade de todos os checkpoints serem coordenados. Nestes protocolos, processos podem criar dois tipos de checkpoints, locais e forçados. Checkpoints locais podem ser criados independentes por cada processo, enquanto os checkpoints forçados devem ser criados a partir de informações acopladas nas mensagens de simulação para garantir o progresso no caso de uma recuperação.

Opuesto aos checkpoints coordenados, os protocolos CIC não trocam mensagens específicas referentes à coordenação de checkpoints para decidir quando os checkpoints forçados devem ser criados, ao invés disso, eles adicionam informações a cada mensagem da aplicação, assim o receptor pode utilizar estas informações e verificar se deve ou não criar um checkpoint forçado. Esta decisão depende de uma análise do receptor para determinar se os padrões da comunicação passada podem levar à criação de checkpoint inútil: neste caso é criado um checkpoint forçado para quebrar estes padrões. Esta intuição foi formalizada nas noções de Z-path e Z-cycle [Netzer and Xu, 1995].

Um Z-path é uma sequência especial de mensagens que conectam dois checkpoints. Seja  $\rightarrow$  a notação de Lamport: happens-before (acontece depois) [Lamport, 1978], onde o *evento*  $i \rightarrow$  *evento*  $j$  se e somente se: (i)  $i$  e  $j$  pertencem ao mesmo processo e  $i$  acontece antes que  $j$ . (ii)  $i$  e  $j$  são eventos de processos diferentes e existe uma mensagem  $m$  enviada por  $P_1$  depois de  $P_1$  executar *evento*  $i$  que chega ao  $P_2$  antes de  $P_2$  executar *evento*  $j$ . Agora seja  $C_{i,x}$  o  $x$ -ésimo checkpoint do processo  $P_i$ . Ainda, definimos o intervalo de checkpoint sendo o período

de execução de um processo entre dois checkpoints consecutivos. Dados dois checkpoints  $C_{i,x}$  e  $C_{j,y}$  um Z-path existe entre  $C_{i,x}$  e  $C_{j,y}$  se e somente se uma destas condições é assegurada:

1.  $x < y$  e  $i = j$ ; (ex: um checkpoint procede o outro no mesmo processo)
2. Existe uma sequência de mensagens  $[m_0, m_1, \dots, m_n]$ ,  $n \geq 0$ , tal que:
  - $C_{i,x} \rightarrow envio_i(m_0)$
  - $\forall l < n$ , tanto o  $recebimento_k(m_l)$  e  $envio_k(m_{l+1})$ , estão no mesmo intervalo de checkpoint, ou  $recebimento_k(m_l) \rightarrow envio_k(m_{l+1})$ ; e
  - $recebimento_j(m_n) \rightarrow C_{j,y}$

Onde  $envio_i$  e  $recebimento_i$  são eventos de comunicação executado pelo processo  $P_i$ . Na Figura 2.6,  $[m_1, m_2]$  e  $[m_3, m_4]$  são exemplos de Z-path entre os checkpoints  $C_{0,1}$  e  $C_{2,2}$ .

Um Z-cycle é um Z-path que inicia e termina no mesmo intervalo de checkpoint. Na Figura 2.6, o Z-path  $[m_5, m_3, m_4]$  é um Z-cycle contendo o checkpoint  $C_{2,2}$ . Z-cycles são interessantes para o contexto dos checkpoints induzidos a comunicação pois pode ser provado que um checkpoint é inútil se faz parte de um Z-cycle [Netzer and Xu, 1995]. Para tanto, uma maneira de evitar checkpoints inúteis é garantir que nenhum Z-path se torne um Z-cycle.

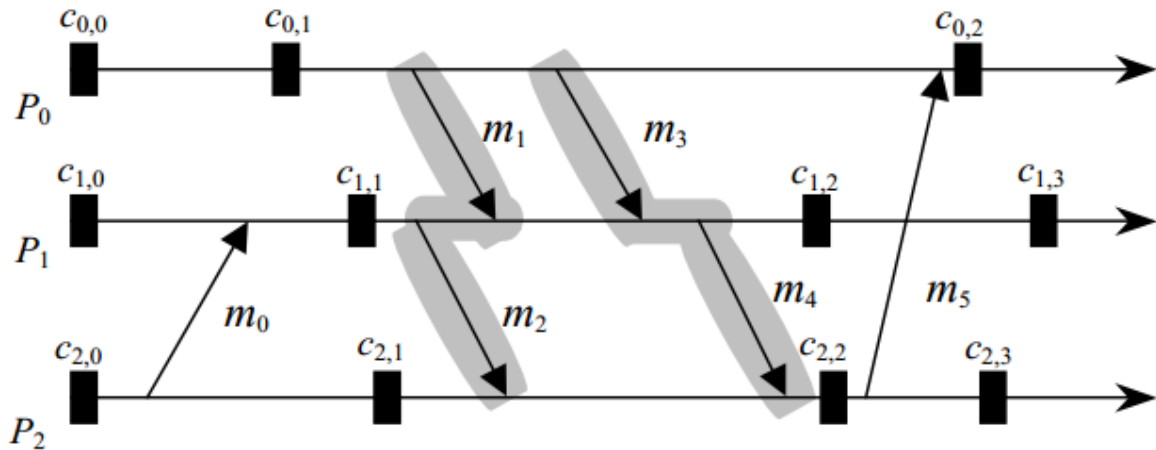


Figura 2.6: Z-Path e Z-Cycle.

## 2.11 High Level Architecture

A High Level Architecture (HLA) foi criada pelo Department of Defense (DoD) dos Estados Unidos da América em 1995 no âmbito de simulação interativa distribuída com base

num processo de esforço conjunto envolvendo o governo, o ambiente acadêmico e a indústria [Dahmann et al., 1997]. Seu principal objetivo na época era aperfeiçoar o treinamento militar.

A HLA atualmente é um padrão IEEE, entretanto não exige que se siga exatamente uma linha de implementação, mas propõe mecanismos e regras que auxiliam o estudo de ambientes para simulação distribuída heterogênea.

### 2.11.1 Aspectos Técnicos do HLA

A HLA trabalha com o conceito de federados, que podem ser vistos como um modelo de simulação computacional, um coletor ou visualizador de dados, ou até mesmo uma interface que permita participantes físicos na simulação. Ao combinar um conjunto de federados com a RTI (RunTime Interface Services – Infraestrutura de Serviços em Tempo de Execução), forma-se uma federação. A RTI é responsável pelo controle de operações de troca de mensagens entre os federados e federações [Dahmann et al., 1997].

A Figura 2.7 representa uma federação HLA. Nela observamos que os federados se comunicam com a RTI através de uma interface. Não são impostas restrições como se deve representar um federado, apenas é necessário que incorporem características que os permitam interagir com os outros objetos presentes no módulo de simulação [Dahmann et al., 1997].

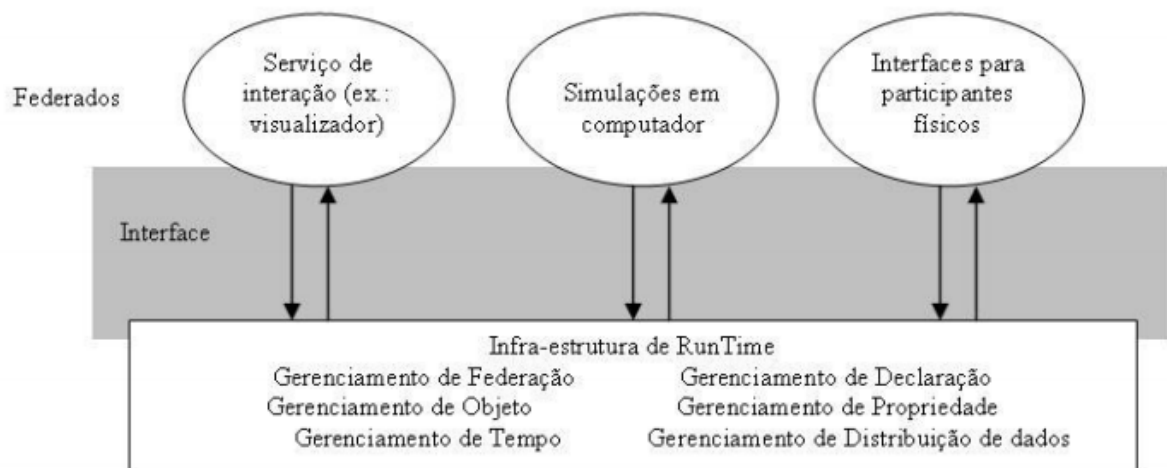


Figura 2.7: Visão de uma Federação HLA [Mello, 2005].

## 2.12 Distributed Co-Simulation Backbone

O DCB é uma arquitetura de simulação proposta por [Mello, 2005]. Seu propósito geral é fornecer uma estrutura que permita a simulação distribuída de modelos heterogêneos.

O DCB é composto por quatro módulos principais: o Expedidor do DCB (*DCB Sender* - DCBS), o Receptor do DCB (*DCB Receiver* - DCBR), o Núcleo do DCB (*DCB Kernel* - DCBK) e o gateway. Devido à heterogeneidade dos federados, o DCB utiliza o conceito de gateway para implementar uma interface de comunicação, que terá a capacidade de traduzir dados de um formato origem para um formato destino de acordo com as exigências do suporte da simulação. O gateway tem como principal tarefa o tratamento das interfaces dos componentes. Os demais tratam da sincronização, gerenciamento de dados e cooperação [Mello, 2005]. Na Figura 2.8 podemos ver a arquitetura do DCB, e perceber sua semelhança com o HLA.

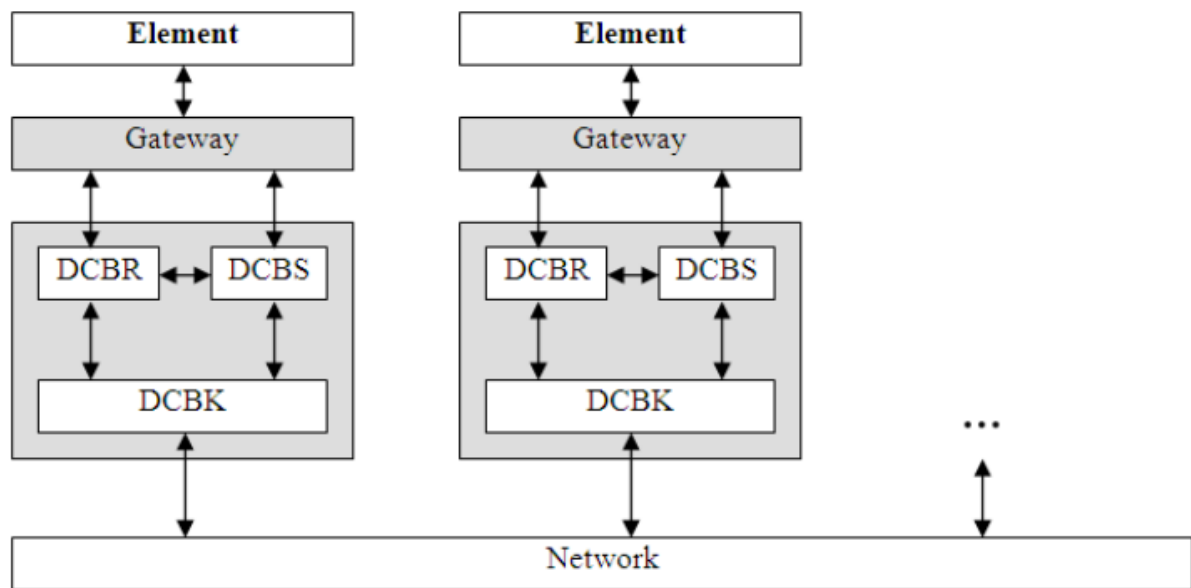


Figura 2.8: Arquitetura do DCB [Mello, 2005].

O DCBR tem como propósito geral o gerenciamento de mensagens recebidas de outros federados, sejam locais ou remotos. É ele quem realiza a decodificação de pacotes recebidos e participa das atividades de gerenciamento do tempo de simulação.

O DCBS tem como propósito principal o gerenciamento de mensagens enviadas pelo federado que representa. Em conjunto com o DCBR, também mantém o gerenciamento do tempo da simulação.

O DCBK, além de manter os serviços de comunicação por troca de mensagens, mantém um valor único em todos os nodos para o tempo virtual global (GVT).

#### 2.12.1 Sincronização no DCB

O DCB faz a sincronização das mensagens através do tempo de evento (timestamp). O tempo de evento enviado em uma mensagem indica o tempo em que um evento deve ocorrer

no federado destino [Mello, 2005]. O DCB suporta sincronização híbrida, permitindo com que cada federado avance o seu tempo local no modo assíncrono ou no modo síncrono, assim como a cooperação com federados untimed, que não utilizam tempo explicitamente no seu modelo.

No DCB, os elementos síncronos apenas poderão enviar mensagens para outros elementos síncronos se o timestamp da mensagem for maior que o GVT, para garantir a não ocorrência de violação de tempo. Elementos untimed organizam suas mensagens de acordo com a ordem em que foram recebidas. Por último os elementos assíncronos permitem o envio de mensagens com qualquer timestamp, uma vez que caso ocorra uma violação de tempo, será realizada a operação de Rollback.

### 2.12.2 Checkpoints no DCB

Até o desenvolvimento deste projeto, o DCB conta com uma solução de checkpoints não coordenados desenvolvida em [Carvalho and Mello, 2015]. Foi escolhida a abordagem de checkpoints não coordenados, pois além das suas vantagens, de garantir autonomia aos elementos criarem seus checkpoints de forma independente, foi garantida a consistência do DCB, que não precisou de mudanças significativas [Carvalho and Mello, 2015].

Os elementos assíncronos do DCB estabelecem o primeiro checkpoint no início da simulação, no tempo 0. Isso garante, que no pior caso (efeito dominó), a simulação não precise ser interrompida, apenas volta para o checkpoint situado no tempo 0 e a simulação continua. Novos checkpoints serão criados durante a simulação se alguma das destas duas regras forem cumpridas:

*Regra 1:* Se a simulação avançou 5000 unidades de tempo desde o último checkpoint.

*Regra 2:* Se desde o último checkpoint o número de mensagens enviadas e recebidas for maior que 10.

Notamos que não foi levado em consideração se ao criar um checkpoint o elemento estava em estado seguro ou não, o que pode resultar em checkpoints inúteis e deixar o sistema suscetível ao efeito dominó.

### 3 TRABALHOS RELACIONADOS

Foram selecionados trabalhos que possuem objetivos parecidos com este trabalho [Chandy and Lamport, 1985, Cao et al., 2004, Lin and Dow, 2001] e que cooperaram para a elaboração desta proposta.

Em [Chandy and Lamport, 1985] foi proposto um algoritmo que um processo determina um estado global durante a computação do sistema. Foi utilizado como exemplo de funcionamento para o algoritmo processos similares a máquinas de estado, onde cada estado representa um processo e o canal de comunicação entre eles é representado por uma transição. O principal problema abordado foi a detecção de característica estável. Uma característica estável deve persistir: uma vez que uma característica estável se torna verdadeira ela deve continuar verdadeira. Exemplos de características estáveis são: “computação terminada” e “o sistema entrou em deadlock”.

Um exemplo de uma execução pode ser observado na Figura 3.1. Nela são representados dois processos:  $P$  e  $Q$  juntamente com dois canais de comunicação, que inicialmente, estão vazios. Ao processo  $P$  enviar a mensagem  $M$ ,  $P$  muda seu estado para  $B$ , o processo  $Q$  não precisa necessariamente receber esta mensagem então a mesma permanece no canal de comunicação.

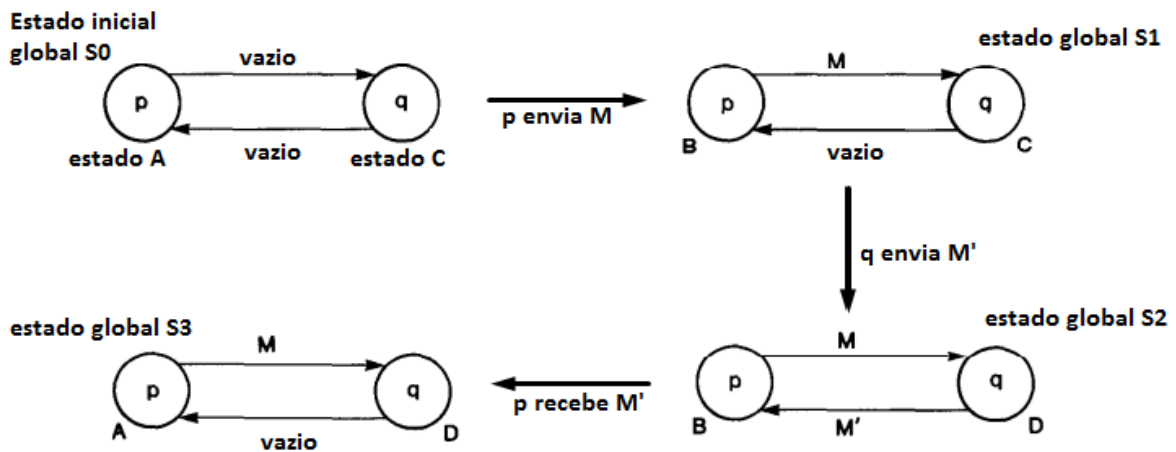


Figura 3.1: Exemplo de execução [Chandy and Lamport, 1985].

Os algoritmos propostos em [Chandy and Lamport, 1985] funcionam da seguinte ma-

neira:

---

**Algoritmo 1:** Regra de Envio do Marcador para um processo  $p$

---

- 1 Para cada canal de comunicação  $c$ , originado deste e direcionado para fora a partir de  $p$ ;
  - 2  $p$  envia uma marca ao longo de  $c$  após  $p$  armazenar seu estado e antes de  $p$  enviar outras mensagens em  $c$ .
- 

---

**Algoritmo 2:** Regra de Recebimento do Marcador para um processo  $q$

---

- 1 Ao receber um marcador por seu canal  $c$ ;
  - 2 **se**  $q$  não armazenou seu estado **então**
  - 3      $q$  armazena seu estado;
  - 4      $q$  armazena o estado de  $c$  como uma sequência vazia;
  - 5 **else**
  - 6      $q$  armazena o estado de  $c$  de acordo com a sequência de mensagens recebidas ao longo de  $c$  após que o estado de  $q$  foi salvo e antes que recebeu o marcador por  $c$ .
  - 7 **end**
- 

As regras de envio e recebimento de marcadores garantem que se uma marca for recebida por um canal, o processo armazenará seu estado e o estado de seus canais de comunicação de entrada. Para garantir que o registro do estado global termine em tempo finito, cada processo deve garantir que nenhum marcador permaneça para sempre em um canal de comunicação incidente e que grave seu estado em tempo finito a partir do início do algoritmo.

Esta estratégia pode ser útil para o DCB pois se trata de uma abordagem não-coordenada de criação de checkpoints e é possível adaptá-la ao DCB.

Em [Cao et al., 2004] foi proposto um algoritmo que garante a criação de estados consistentes a partir da utilização de checkpoints não-coordenados (locais) e checkpoints coordenados (forçados). No trabalho, é definido como *IN* os processos com checkpoints independentes e *CO* é utilizado para os processos com checkpoints coordenados.

Uma visão geral do algoritmo criado pode ser descrita em duas regras:

*Regra 1:* *IN* cria um novo checkpoint coordenado caso envie uma mensagem  $M$  para qualquer *CO*. Ou seja, *IN* cria um checkpoint coordenado imediatamente depois de enviar  $M$  para algum *CO*.

*Regra 2:*  $P_i$  *IN* cria um novo checkpoint não-coordenado antes de receber uma mensagem  $M$  de algum *CO* apenas se  $P_i$  enviou alguma mensagem depois de seu último checkpoint.



Algoritmos desenvolvidos:

---

**Algoritmo 3:** Implementação da Regra 1

---

```

1 se M é destinada a algum CO então
2   Bloqueie o estado de IN;
3   S = estado atual de IN + "M foi enviada";
4   Armazene S em armazenamento estável;
5   Envie M para CO;
6   Registre S como um checkpoint coordenado;
7   Desbloqueie o estado de IN;
8 fim

```

---



---

**Algoritmo 4:** Implementação da Regra 2

---

```

1 se M é enviada de algum CO e  $P_i$  enviou alguma mensagem durante seu intervalo de checkpoint atual antes do recebimento de M então
2    $P_i$  cria um novo checkpoint IN;
3 fim
4 Registre o recebimento de M;
5 Processe M;

```

---

Segundo seus atores, este algoritmo possui diversas vantagens, sendo elas: Fácil implementação; Apenas os esquemas de checkpoint necessitam ser modificados, uma vez que não interfere em outra parte do sistema; Relativamente baixo overhead de processamento para os checkpoints Coordenados; Pode ser aplicada a qualquer momento da computação sem necessitar de mudanças na aplicação.

O fato de apresentarem um algoritmo de coletor de lixo (o qual não foi discutido no presente trabalho), mostra que possivelmente há a criação de checkpoints inúteis, além de que bloquear um elemento (como visto no Algoritmo 3) não é algo desejável. Por outro lado o estudo deste trabalho ainda pode ser útil para a implementação no DCB pois mesmo bloqueando os processos, a criação coordenada age somente de forma local e não depende do envio de mensagens específicas para sua criação.

já em [Lin and Dow, 2001], é apresentado uma abordagem de criação de checkpoint utilizando métodos de checkpoint coordenado e checkpoint induzido a comunicação, os quais foram utilizados em um modelo de simulação móvel. No trabalho citado, o autor deixa claro que a coordenação de checkpoints é necessária pois mesmo havendo as trocas de mensagens apenas para a coordenação de checkpoint há um ganho em desempenho devido a pouca capacidade de armazenamento dos dispositivos, o que exigiria um algoritmo de coletor de lixo para apagar os checkpoints antigos que não seriam mais utilizados.

Algumas partes do algoritmo desenvolvido em [Lin and Dow, 2001] podem ser vistas no Algoritmo 5. A abreviação de *MH* se refere a Mobile Host, e *MSS* se refere a Mobile Sup-

port Station. Os detalhes do desenvolvimento são: (1) Quando um *MSS* criar um checkpoint periódico, é incrementado o valor de  $index_p$  e enviado uma mensagem de requisição para todos os *MSSs*. (2) Quando um *MSS* recebe uma mensagem de requisição, este realiza os seguintes passos caso o  $M.index$  seja maior que  $index_p$ . Atribui  $index_p$  para  $M.index$ , define um temporizador  $T_{lazy}$  que será utilizado para atrasar a ação de coordenação, e cria uma fila  $MQueue_p$ , contendo todos os *MHs* com que ele pode trocar mensagens. (3) Quando  $MH_i$  receber uma mensagem de simulação de  $MH_j$ , ele cria um checkpoint antes de executar a mensagem, além de atualizar seu  $index$  para o  $M.index$  se o  $M.index$  for maior que  $index_i$ . (4) Ao receber uma mensagem de simulação  $M$  que foi enviada de  $MH_i$  para  $MH_j$ , o *MSS* deve remover  $MH_j$  da  $MQueue$ , caso ainda esteja na fila. (5) Quando o tempo de  $T_{lazy}$  acabar, o *MSS* enviará uma mensagem de requisição a todos os *MHs* que estiverem na  $MQueue$ . (6) Quando  $MH_i$  receber uma mensagem de requisição  $M$  de algum *MSS*, caso  $M.index$  for maior que  $index_i$ ,

é atualizado o valor de  $index_i$  para  $M.index$  e é criado um checkpoint.

---

**Algoritmo 5:** Algoritmo

---

```

1 (1) Quando um MSS cria um checkpoint local;
2  $index_p = index_p + 1;$ 
3  $M.index = index_p;$ 
4 envie a mensagem de requisição M para todos os MSS;
5 (2) Quando o  $MSS_p$  recebe uma mensagem de requisição M
   de  $MSS_q$ ;
6 se  $M.index > index_p$  então
7    $index_p = M.index;$ 
8   Defina um temporizador coordenado ocioso  $T_{lazy};$ 
9   Crie  $MQueue_p;$ 
10 fim
11 (3) Quando  $MH_i$  receber uma mensagem de simulação de
    $MH_j$ ;
12 se  $M.index > index_i$  então
13    $index_i = M.index;$ 
14   Crie um checkpoint;
15 fim
16 (4) Quando um MSS receber uma mensagem computacional M
   enviada de  $MH_i$  para  $MH_j$ ;
17 se  $j \in MQueue$  então
18   Apague  $j$  da  $MQueue$ ;
19 fim
20 (5) Quando o tempo de  $T_{lazy}$  se esgotar;
21 Envie uma mensagem de requisição aos  $MHs \forall i \in MQueue_p;$ 
22 (6) Quando  $MH_i$  receber uma mensagem de requisição M de
   um MSS;
23 se  $M.index > index_i$  então
24    $index_i = M.index;$ 
25   Crie um checkpoint;
26 fim

```

---

Em [Lin and Dow, 2001] foi apresentada a prova por teoremas que esta abordagem leva a geração de checkpoints consistentes.

Este trabalho pôde ser aproveitado para o desenvolvimento da proposta no DCB pois a maneira com que ele trata a abordagem de criação de checkpoints induzidos a comunicação se encaixa com a estrutura atual do DCB e mesmo sem utilizar mensagens específicas para a coordenação de checkpoints são alcançados estados seguros na simulação, tornando as operações de rollback consistentes e garantindo a não ocorrência do efeito dominó.

## 4 DESENVOLVIMENTO

O desenvolvimento do método proposto neste trabalho, de criação de checkpoints em estados seguros no DCB, foi dividido em dois módulos, estes módulos são: criação a partir de dados anexados nas mensagens de simulação e criação a partir da média de mensagens recebidas previamente. Cada um destes módulos será apresentado detalhadamente nas seções 4.1 e 4.2 respectivamente. O desenvolvimento foi feito utilizando a linguagem de programação Java pois esta era a linguagem original do projeto do DCB. Vale destacar que paralelamente com o desenvolvimento dos métodos para criação de checkpoint, foi necessário resolver alguns problemas que afetavam o funcionamento do DCB, tais como o envio de anti mensagem, verificação de ocorrência de rollback pelo LVT, remoção de mensagens que causaram rollback e a restauração do elemento ao realizar um rollback.

### 4.1 Índice de Checkpoint

Este método de criação de checkpoints induzido a comunicação foi desenvolvido baseado no trabalho de [Lin and Dow, 2001], sendo feitas modificações e simplificações para que pudesse ser implementado de acordo com as características internas do DCB. A primeira modificação feita no método, foi a remoção da coordenação entre os elementos para a criação de checkpoints. Para realizar tal coordenação seria necessário que o DCB enviasse mensagens de verificação para todos os elementos que se comunicassem com o elemento prestes a criar um checkpoint, para se certificar que todos estivessem em um mesmo estado de consistência, caso a verificação falhasse não seria criado o checkpoint. Além da coordenação de checkpoints apresentar um *overhead* causado por esta troca de mensagens, seria necessária a implementação de uma nova troca de mensagens, diferente da existente atualmente no DCB.

Esta abordagem desenvolvida precisou da criação de um índice em cada elemento da simulação, o qual será responsável por manter o índice de checkpoints atual durante a simulação do modelo. Também fez-se necessária a acoplagem do valor deste índice ao fim de cada mensagem de simulação enviada pelo elemento, para que ao receber uma mensagem de simulação, esta também contenha a informação necessária para verificar se será criado um checkpoint neste intervalo de tempo.

Para manter o índice, o mesmo é atribuído para zero no construtor da classe do elemento e incrementado em um a cada checkpoint criado. O índice também é decrementado em um

para cada checkpoint inútil detectado durante uma operação de *rollback* para que seu valor acompanhe o número de checkpoints consistentes presentes no elemento. Elementos síncronos (os quais não possuem operações de criação de checkpoints e *rollbacks*) também manterão o valor de índice de checkpoint e também o acoplarão as suas mensagens, porém o valor nestes elementos será sempre zero.

A acoplagem deste índice em todas as mensagens de simulação foi feita concatenando um caractere especial (neste caso o caractere '@') seguido do índice de checkpoint ao fim de toda mensagem enviada. O caractere escolhido pode facilmente ser alterado caso haja a necessidade, devido ao fato de que o mesmo não poder estar incluso no texto ou valor enviado na mensagem, pois acarretaria em falha no destinatário da mesma.

Ao receber uma mensagem de simulação, antes de executá-la, o elemento irá extrair o índice de checkpoint acoplado na mensagem e realizará uma verificação com o seu índice de checkpoint local, caso o valor extraído da mensagem seja maior que o seu, é criado um checkpoint e o índice de checkpoint local é atualizado para ser igual ao índice de checkpoint que estava acoplado na mensagem. Depois desta verificação a mensagem é computada normalmente.

Na imagem 4.1 é apresentada uma situação onde o elemento  $C_0$  havia criado 3 checkpoints antes de enviar a mensagem  $m_1$ , sendo assim, o valor "3" foi acoplado na mensagem  $m_1$ . Ao receber esta mensagem, o elemento  $C_1$ , que só havia criado um checkpoint até o momento, verificou que o valor extraído da mensagem era maior que o seu índice de checkpoint(1), o que levou a criação do checkpoint  $c_{1,3}$ . O índice de checkpoint do elemento  $C_1$  passou de 1 para 3 ao realizar esta ação, o que é permitido pelo método, não apresentando problemas em sua execução. Também é apresentada uma situação de falha na imagem 4.1, onde o elemento  $C_0$  apresentou uma violação de tempo e precisará realizar um *rollback* para o checkpoint  $c_{0,3}$ . Este *rollback* irá gerar o envio de uma anti-mensagem para o elemento  $C_1$ , devido a mensagem  $m_1$ . Nesta situação notamos a eficácia deste método, pois conduzirá os elementos a um estado consistente e retrocedendo pouco tempo de simulação no elemento  $C_1$ .

## 4.2 Predição de Mensagens

O método de predição de mensagens é responsável por criar checkpoints periódicos em cada elemento assíncrono levando em consideração a frequência com que este recebe mensagens de outros elementos. Este método foi criado com base na observação e estudo de modelos

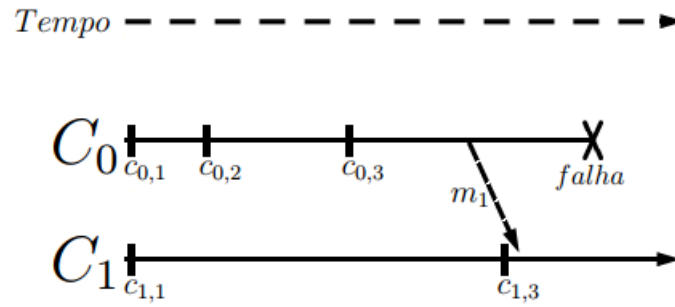


Figura 4.1: Situação de criação de checkpoint utilizando o índice de checkpoint.

computacionais de simulação, que tendem a se comunicar de forma contínua, mantendo um padrão em seu envio de mensagens. Para realizar a predição o elemento armazenará, em uma estrutura específica, o valor dos *timestamps* das mensagens recebidas anteriormente. Ao receber uma mensagem, o elemento calculará a média de intervalos de recebimento de mensagens do mesmo elemento que enviou a mensagem atual, essa média então poderá ser a sua nova predição caso assim seja detectado pelo algoritmo. Então quando o tempo de simulação alcançar o tempo estipulado pela predição, o DCB enviará uma requisição de checkpoint através do *Gateway* do elemento.

A criação e manutenção dos dados presentes na estrutura responsável por armazenar os *timestamps* das mensagens recebidas anteriormente será feita pelo DCB. Esta estrutura foi representada por um *HashMap*, sendo a chave o ID do elemento que enviou a mensagem, e o valor um conjunto contendo o *timestamp* das cinco últimas mensagens recebidas deste mesmo elemento. Caso este elemento ainda não tenha recebido cinco mensagens do mesmo remetente, o cálculo da predição será feito apenas com os valores presentes na estrutura. Uma vez com cinco mensagens na estrutura, a atualização da mesma se dá pela estrutura de dados de fila, onde o primeiro valor que entrou para a estrutura será substituído pelo novo valor quando necessário.

É importante destacar que a estrutura criada suprirá demandas futuras do DCB, uma vez que cada elemento presente na simulação possui um ID próprio. Atualmente este ID é formado da seguinte maneira:  $x.y$ , onde  $x$  representa a federação que o elemento compõe e  $y$  representa o ID do federado. Para fins de implementação e testes o presente método está utilizando as cinco últimas mensagens para calcular a predição de mensagem, este valor pode ser facilmente alterado caso verificado que utilizar mais ou menos mensagens pode gerar um desempenho melhor para alguma modelagem específica.

Uma vez com a estrutura preparada, o método irá calcular a média entre os intervalos

de tempo em que as mensagens anteriores deste mesmo elemento foram recebidas. Este valor então será somado com o *LVT* atual e este resultado será uma predição de mensagem. Caso esta nova predição de mensagem seja menor que a predição de mensagem já registrada no elemento, ela é atualizada, caso contrário é descartado o valor.

Para finalizar, foi adicionada uma verificação no método de atualizar o *LVT* do elemento que é responsável por detectar se o *LVT* do elemento atingiu o valor estipulado pela predição anteriormente calculada. Quando esta verificação der positivo, será chamado um método no *gateway* do elemento solicitando que o mesmo crie um Checkpoint neste instante de tempo.

Este método de solicitação de criação de checkpoint pelo DCB para o elemento ainda não estava presente no DCB, então o mesmo foi desenvolvido de forma a não causar má funcionalidade nos métodos já desenvolvidos no DCB e também para que funcione em todos os casos futuros, com modelos de simulações diferentes do atual. Para desenvolver a solicitação de criação de checkpoint foi criado um método na classe *Gateway* de todos os elementos, isso foi necessário pois o DCB se comunica com o elemento apenas pelo *Gateway*. Este método novo permite que o DCB \*acione\* a função *setCheckpoint* do elemento, que irá criar um checkpoint no *LVT* atual.

## 5 ESTUDO DE CASO

Foi desenvolvido um estudo de caso para observar o comportamento dos elementos assíncronos utilizando a nova abordagem de criação de checkpoints no DCB. Neste estudo de caso foram utilizados cinco elementos, um síncrono, três assíncronos e um *untimed*. Os elementos foram dispostos desta maneira a fim de construir situações comuns em simulações computacionais, onde há a interação entre elementos que avançam no tempo de maneiras distintas, podendo gerar diversos casos de violação de tempo.

Neste estudo de caso, apenas os elementos assíncronos sofrem violação de tempo e precisam realizar a operação de *rollback*, então estes serão os mais visados neste capítulo.

Os elementos utilizados no estudo de caso foram implementados anteriormente em [Carvalho and Mello, 2015] e foram utilizados para testar a criação de checkpoints e realização de *rollbacks* no DCB, estes elementos são chamados de ChatDCB. Os cinco elementos no estudo de caso são: ChatDCB 5 (síncrono), ChatDCB 6 (assíncrono), ChatDCB 7 (assíncrono), ChatDCB 8 (assíncrono) e ChatDCB 9 (*untimed*).

Cada ChatDCB possui um campo para exibir as mensagens recebidas, denominado com o rótulo de *Received*, um campo para inserir o valor da mensagem a ser enviada, denominado *Message*, um *combo box* para escolher qual o destinatário da mensagem denominado de *Recipient*, um campo para informar o *timestamp* que a mensagem deve ser computada no destinatário, denominado *TimeStamp*. Ainda podemos visualizar o GVT atual da simulação e o *LVT* atual do elemento, seguido de três *CheckBox* que representam qual o *\*modo\** do elemento, que não pode ser alterados. As informações sobre o ID do Chat, seu *\*modo\**, e com quais elementos ele pode se comunicar são informadas em um arquivo *XML*, o formato deste arquivo deve estar de acordo com a especificação encontrada em [Mello, 2005]. A Figura 5.1 representa o ChatDCB 5, onde podemos encontrar estas informações.

### 5.1 Resultados

Para este estudo de caso foi criado um cenário controlado, onde os envios de mensagens entre os elementos serão os mesmos a cada nova execução. Estas mensagens são criadas e enviadas por uma *thread* implementada em cada ChatDCB. Cada ChatDCB possui um roteiro de envio de mensagens, e no caso dos elementos assíncronos, um roteiro de avanço no tempo diferente dos outros elementos. Ao total são enviadas 53 mensagens de simulação entre os



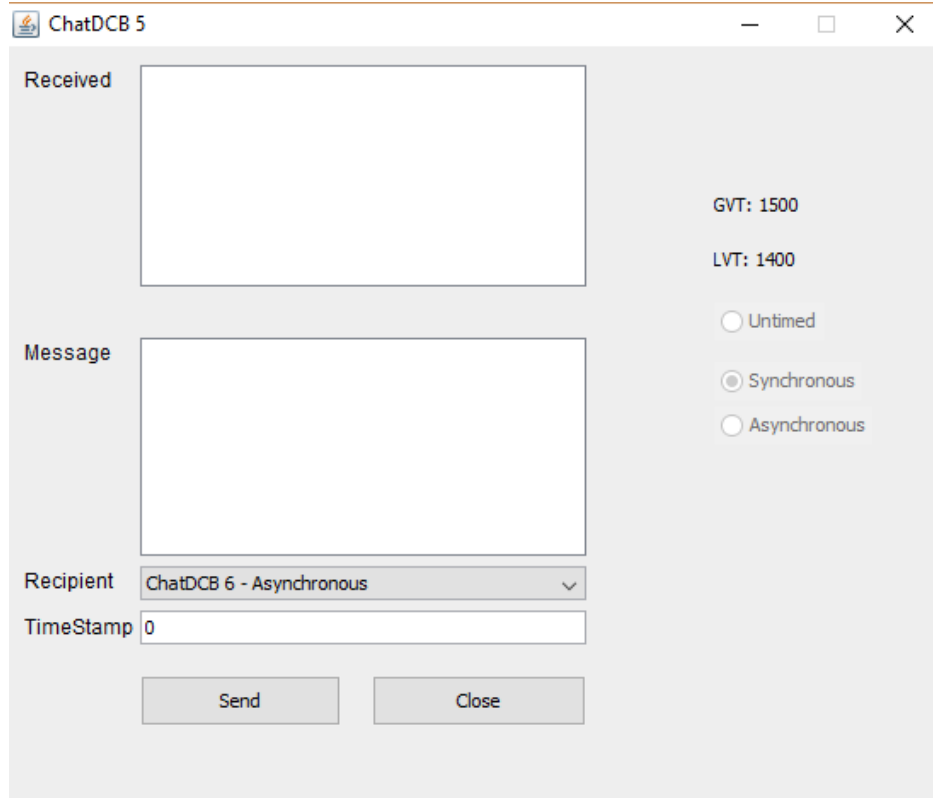


Figura 5.1: Representação do ChatDCB 5.

elementos, onde a grande maioria destas tem como destinatário os elementos assíncronos, para que ocorram diversas situações de violação de tempo, geração de anti-mensagens e rollback em cascata que utilizarão os checkpoints criados para retornar a simulação em um instante de tempo estável.

Este mesmo roteiro de envio de mensagens e avanço no tempo dos elementos assíncronos foi utilizado para verificar o comportamento da abordagem desenvolvida neste trabalho e também com a abordagem de criação de checkpoints existente anteriormente no DCB.

As situações geradas pelas trocas de mensagens tentam representar situações de impasse ilustradas em vários trabalhos que foram utilizados como referencial teórico para este trabalho. Suas trocas de mensagens puderam ser fielmente representadas, porém o tempo de criação dos checkpoints ficaram submissos às técnicas que estavam sendo executadas no teste, o que levou a diferenças em relação ao tempo retrocedido em cada rollback, quantidade de anti mensagens geradas, quantidade de checkpoints inúteis criados e até a quantidade de rollbacks realizados.

A Figura 5.2 representa a primeira situação que ocorre no estudo de caso, onde o ChatDCB 5 envia a mensagem  $m_1$  no instante de tempo 200 para ser computada no ChatDCB 6 em seu timestamp 500 e  $m_2$  no instantes de tempo 300 ao ChatDCB 8 para ser computada no

timestamp 700. O ChatDCB 6 envia novamente uma mensagem  $m_3$  ao ChatDCB 6 no instante 1000, com timestamp de 1200. ChatDCB 6 envia uma mensagem  $m_4$  em seu instante de tempo 1200 para ser computada no ChatDCB 8 no instante 1200 e no instante 1300 avança seu LVT para 2700, representado na imagem por  $a_1$ . Então, o ChatDCB 8 ao alcançar o tempo 1800 envia uma mensagem  $m_5$  para ser computada no ChatDCB 6 no instante 2200, porém devido ao avanço feito pelo ChatDCB 6, essa mensagem causou uma violação de tempo e o mesmo será submetido a um rollback.

Na Figura 5.2(a) temos a criação de checkpoint desenvolvida neste trabalho, e podemos notar que as mensagens  $m_1$  e  $m_2$  levaram à criação dos checkpoints  $c_1$  e  $c_2$  devido ao método de predição de mensagens. Estes checkpoints foram criados respectivamente nos instantes de tempo 900 e 1300. Devido a mensagem  $m_3$ , o método de predição de mensagens iria criar um checkpoint no instante 1900, porém devido ao avanço  $a_1$  este checkpoint foi criado no instante de tempo 2700. Ao receber a mensagem  $m_5$  e verificar a necessidade de rollback, o ChatDCB 6 irá descartar e marcar como inútil o checkpoint  $c_3$  pois o mesmo seria insuficiente para este rollback e retornar seu estado para o checkpoint  $c_1$ . Ao realizar este rollback, a mensagem  $m_4$  se torna uma mensagem órfã, o que gera o envio da anti mensagem  $aa_1$  para o ChatDCB 8. Recebendo esta anti mensagem, o ChatDCB 8 deverá realizar rollback para um instante anterior ao recebimento da mensagem, retornando assim ao checkpoint  $c_2$ .

Já na Figura 5.2(b) temos a situação com a criação de checkpoint que estava desenvolvida antes deste trabalho, e uma vez que a simulação ainda não avançou 5000 instantes de tempo, não foram criados checkpoints além de os checkpoints criados no instante de tempo 0. Sendo assim, o ChatDCB 6 retornará ao instante 0 devido ao rollback e o ChatDCB 8 também retornará ao instante de tempo 0 devido a anti mensagem recebida pelo elemento ChatDCB 6.

Agora na Figura 5.3 temos a representação de outra situação, onde o ChatDCB 6 estava a mais de 6000 instantes de tempo avançado na simulação que os demais elementos e recebeu uma mensagem do ChatDCB 5 para ser computada no instante de tempo 32500. O ChatDCB 6 teve que realizar um rollback para algum checkpoint anterior a este tempo para poder computá-la. Na Figura 5.2(a), onde é representada a criação de checkpoints desenvolvida neste trabalho, podemos verificar que havia apenas um checkpoint neste intervalo de tempo, o checkpoint aos 39800, então é neste que o ChatDCB 6 irá retornar. Já na Figura 5.2(b), onde temos a abordagem de criação de checkpoints anterior do DCB, podemos notar que haviam dois checkpoints criados, um aos 35000 e outro aos 30000, como o checkpoint no instante 35000 não é suficiente

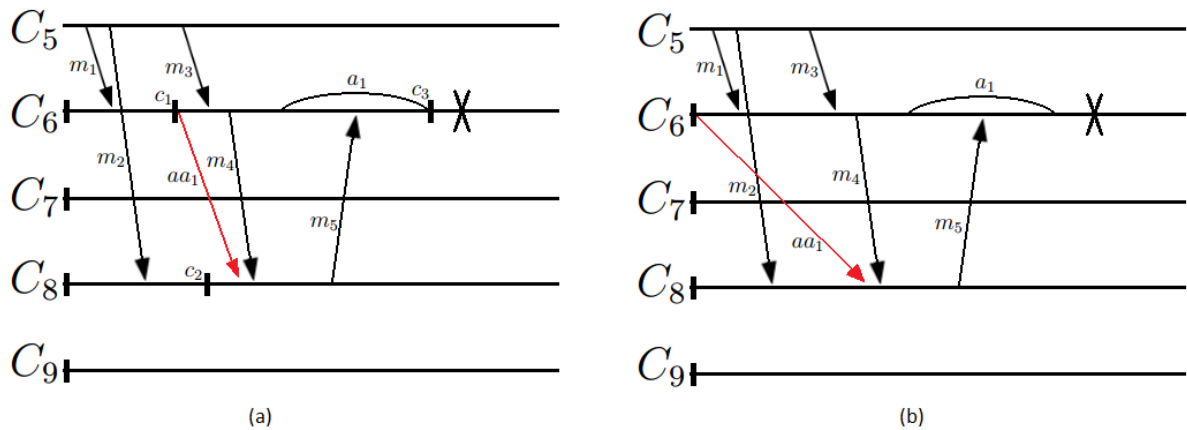


Figura 5.2: Situação de rollback com a geração de uma anti mensagem; (a) Utilizando o método de criação de checkpoint desenvolvido neste trabalho; (b) Utilizando o método de criação de checkpoint anterior do DCB.

para o rollback, o mesmo será descartado e marcado como inútil, então o checkpoint no instante 30000 será utilizado para o rollback.

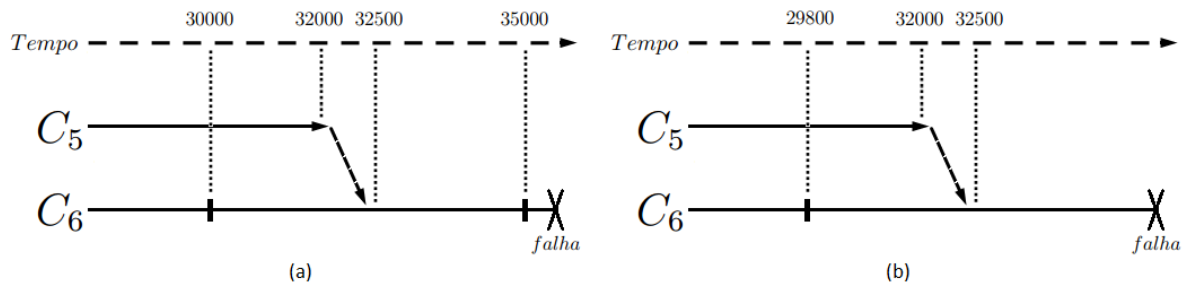


Figura 5.3: Situação onde um elemento está muito adiantado na simulação e necessita de um rollback, tendo um intervalo de retorno bastante grande. (a) Utilizando o método de criação de checkpoint desenvolvido neste trabalho; (b) Utilizando o método de criação de checkpoint anterior do DCB.

Na situação mostrada na Figura 5.2 podemos notar uma grande diferença no tempo de retorno devido ao rollback em relação as abordagens diferentes, porém também notamos que a abordagem desenvolvida neste trabalho levou à criação de um checkpoint inútil devido a intensa troca de mensagens entre os elementos ChatDCB 5 e ChatDCB 6. Já na Figura 5.3, temos a situação inversa, o ChatDCB 6 não estava recebendo mensagens de simulação e não criou nenhum checkpoint naquele intervalo, porém utilizando a criação de checkpoints anterior a este trabalho foram criados checkpoints devido aos avanços no tempo que levou a criação de um checkpoint inútil, pelo fato do elemento estar muito adiantado na simulação.

Nas Figuras 5.4 e 5.5 temos a finalização das simulações nos elementos assíncronos pre-

sentes no estudo de caso. A Figura 5.4 representa os elementos que foram testados utilizando a criação de checkpoints desenvolvida neste trabalho (Índice de Checkpoint e Predição de mensagens) e a Figura 5.5 os elementos que foram testados utilizando a criação de checkpoints presente no DCB anteriormente (a cada 5000 intervalos de tempo).

Nestas figuras temos algumas informações extraídas da simulação, como o total de anti mensagens enviadas, número total de rollbacks realizados, total de tempo retrocedido devido a rollbacks, total de checkpoints inúteis e o índice de checkpoint de cada elemento. Estes valores serão utilizados como comparação dos métodos. Quanto ao número total de rollbacks, houve mudança apenas no ChatDCB 6, que realizou um rollback a mais quando utilizando a abordagem de criação de checkpoints desenvolvida neste trabalho. Já o tempo total retrocedido em rollbacks apresentou em média um valor menor nos elementos utilizando a abordagem desenvolvida neste trabalho, até mesmo no caso do ChatDCB 6, que realizou um rollback a mais e seu tempo total de rollback foi menor. A quantia de checkpoints inúteis foi a mesma utilizando as duas abordagens porém cada abordagem teve um checkpoint inútil criado em situações de rollback diferentes, que foram mostrados nas Figuras 5.2 e 5.3.

```
Simulação chegou no LVT 40000, finalizando processo....
GVT atual: 42300
Total de anti-mensagens: 1
Total de rollbacks realizados: 4
Total de tempo em rollback: 11500
Total de checkpoints inúteis: 1
Checkpoint Index: 8
Finalizando Chat!
```

(a)

```
Simulação chegou no LVT 40000, finalizando processo....
GVT atual: 42200
Total de anti-mensagens: 1
Total de rollbacks realizados: 3
Total de tempo em rollback: 6700
Total de checkpoints inúteis: 0
Checkpoint Index: 8
Finalizando Chat!
```

(b)

```
Simulação chegou no LVT 40000, finalizando processo....
GVT atual: 41200
Total de anti-mensagens: 2
Total de rollbacks realizados: 3
Total de tempo em rollback: 3700
Total de checkpoints inúteis: 0
Checkpoint Index: 7
Finalizando Chat!
```

(c)

Figura 5.4: Finalização da simulação de teste utilizando a criação de checkpoints desenvolvida neste trabalho. (a) ChatDCB 6; (b) ChatDCB 7; (c) ChatDCB 8.

```
Simulação chegou no LVT 40000, finalizando processo....  
GVT atual: 42100  
Total de anti-mensagens: 1  
Total de rollbacks realizados: 3  
Total de tempo em rollback: 12000  
Total de checkpoints inúteis: 1  
Checkpoint Index: 8  
Finalizando Chat!
```

(a)

```
Simulação chegou no LVT 40000, finalizando processo....  
GVT atual: 42400  
Total de anti-mensagens: 2  
Total de rollbacks realizados: 3  
Total de tempo em rollback: 6200  
Total de checkpoints inúteis: 0  
Checkpoint Index: 9  
Finalizando Chat!
```

(b)

```
Simulação chegou no LVT 40000, finalizando processo....  
GVT atual: 42400  
Total de anti-mensagens: 1  
Total de rollbacks realizados: 3  
Total de tempo em rollback: 4900  
Total de checkpoints inúteis: 0  
Checkpoint Index: 9  
Finalizando Chat!
```

(c)

Figura 5.5: Finalização da simulação de teste utilizando a criação de checkpoints presente anteriormente no DCB. (a) ChatDCB 6; (b) ChatDCB 7; (c) ChatDCB 8.

## **6 CONCLUSÃO**

teste conclusão

### **6.1 Trabalhos Futuros**

## REFERÊNCIAS

- [1] B. Bhargava and S.-R. Lian. Independent checkpointing and concurrent rollback for recovery in distributed systems-an optimistic approach. In *Reliable Distributed Systems, 1988. Proceedings., Seventh Symposium on*, pages 3–12. IEEE, 1988.
- [2] J. Cao, Y. Chen, K. Zhang, and Y. He. Checkpointing in hybrid distributed systems. In *Parallel Architectures, Algorithms and Networks, 2004. Proceedings. 7th International Symposium on*, pages 136–141. IEEE, 2004.
- [3] F. M. M. Carvalho and B. A. Mello. Hybrid synchronization in the dcb based on uncoordinated checkpoints. *Leicester*, 2015.
- [4] K. M. Chandy and L. Lamport. Distributed snapshots: determining global states of distributed systems. *ACM Transactions on Computer Systems (TOCS)*, 3(1):63–75, 1985.
- [5] J. S. Dahmann, R. M. Fujimoto, and R. M. Weatherly. The department of defense high level architecture. In *Proceedings of the 29th conference on Winter simulation*, pages 142–149. IEEE Computer Society, 1997.
- [6] E. Elnozahy, D. Johnson, and Y. Wang. A survey of rollback-recovery protocols in message-passing systems. Technical report, Technical Report CMU-CS-96-181, Carnegie Mellon Univ, 1996.
- [7] E. N. Elnozahy, L. Alvisi, Y.-M. Wang, and D. B. Johnson. A survey of rollback-recovery protocols in message-passing systems. *ACM Computing Surveys (CSUR)*, 34(3):375–408, 2002.
- [8] A. Ferscha and S. K. Tripathi. Parallel and distributed simulation of discrete event systems. 1998.
- [9] R. Fujimoto and D. Nicol. State of the art in parallel simulation. In *Proceedings of the 24th conference on Winter simulation*, pages 246–254. ACM, 1992.
- [10] R. M. Fujimoto. Time management in the high level architecture. *Simulation*, 71(6):388–400, 1998.

- [11] R. Koo and S. Toueg. Checkpointing and rollback-recovery for distributed systems. *Software Engineering, IEEE Transactions on*, (1):23–31, 1987.
- [12] L. Lamport. Time, clocks, and the ordering of events in a distributed system. *Communications of the ACM*, 21(7):558–565, 1978.
- [13] A. M. Law and W. D. Kelton. Simulation modeling and analysis, mcgraw-hill. *New York*, 1991.
- [14] C.-M. Lin and C.-R. Dow. Efficient checkpoint-based failure recovery techniques in mobile computing systems. *J. Inf. Sci. Eng.*, 17(4):549–573, 2001.
- [15] B. A. d. Mello. Co-simulação distribuída de sistemas heterogêneos. *Tese (Doutorado em Computação), Universidade Federal do Rio Grande do Sul*, 2005.
- [16] R. H. Netzer and J. Xu. Necessary and sufficient conditions for consistent global snapshots. *IEEE Transactions on Parallel & Distributed Systems*, (2):165–169, 1995.
- [17] P. F. Reynolds Jr. Heterogenous distributed simulation. In *Proceedings of the 20th conference on Winter simulation*, pages 206–209. ACM, 1988.
- [18] Y. Tamir and C. H. Sequin. Error recovery in multicomputers using global checkpoints. In *In 1984 International Conference on Parallel Processing*. Citeseer, 1984.